## O.A. Даниленко $^{1-2}$ , $A.\Pi.$ Беспальчук $^{2}$ ,E.P. Макаревич $^{1}$

## Рентгенологическая диагностика и классификация импрессионных переломов головки плечевой кости

Белорусский государственный медицинский университет <sup>1</sup>, Могилевская областная больница<sup>2</sup>

Целью настоящего исследования явилось изучение существующих рентгенологических методик диагностики импрессионных переломов головки плеча и определение практической значимости полученных данных. В статье приведен материал авторов, основанный на результатах рентгенологического обследования 88 пациентов, обратившихся в Могилевскую областную больницу и городской клинический центр травматологии и ортопедии Минска, по поводу привычных и застарелых вывихов плеча. В 80 случаях были выявлены импрессионные дефекты головки плечевой кости. Таким образом, предоперационная диагностика позволила более рационально подойти к выбору оптимальной тактики лечения изучаемой патологии.

Ключевые слова: импрессионный дефект головки плеча, дефект Хилл?Сакса, застарелый вывих плеча, привычный вывих плеча, динамические и статические факторы нестабильности плечевого сустава, посттравматическая рецидивирующая нестабильность плеча.

Импрессионные (лат. impressio-вдавливание, надавливание) дефекты головки и бугорковой зоны плечевой кости-понятие, подразумевающее под собой переломы проксимального отдела плеча, возникшие в результате травмы плечевого пояса, которая привела к формированию вдавленного дефекта костной ткани (импрессии) [6]. Импрессионные дефекты обусловливают характерное нарушение целостности кортикальной пластинки плечевой кости с сопутствующей компрессионной деформацией субкортикальных отделов губчатого вещества [2, 9]. Как в нашей стране, так и за рубежом, эту патологию не выделяют в отдельную нозологическую единицу, а считают повреждениемсателлитом, которое, наряду с другими изменениями, встречается чаще всего при нестабильности плечевого сустава [12]. Нередко данному повреждению отводится роль ведущего статического дестабилизатора плечевого сустава. С учетом существующей точки зрения, своевременно диагностированные импрессионные дефекты головки и бугорковой зоны плечевой кости являются определяющими в выборе рациональной тактики хирургической коррекции повреждений плечевого сустава [8].

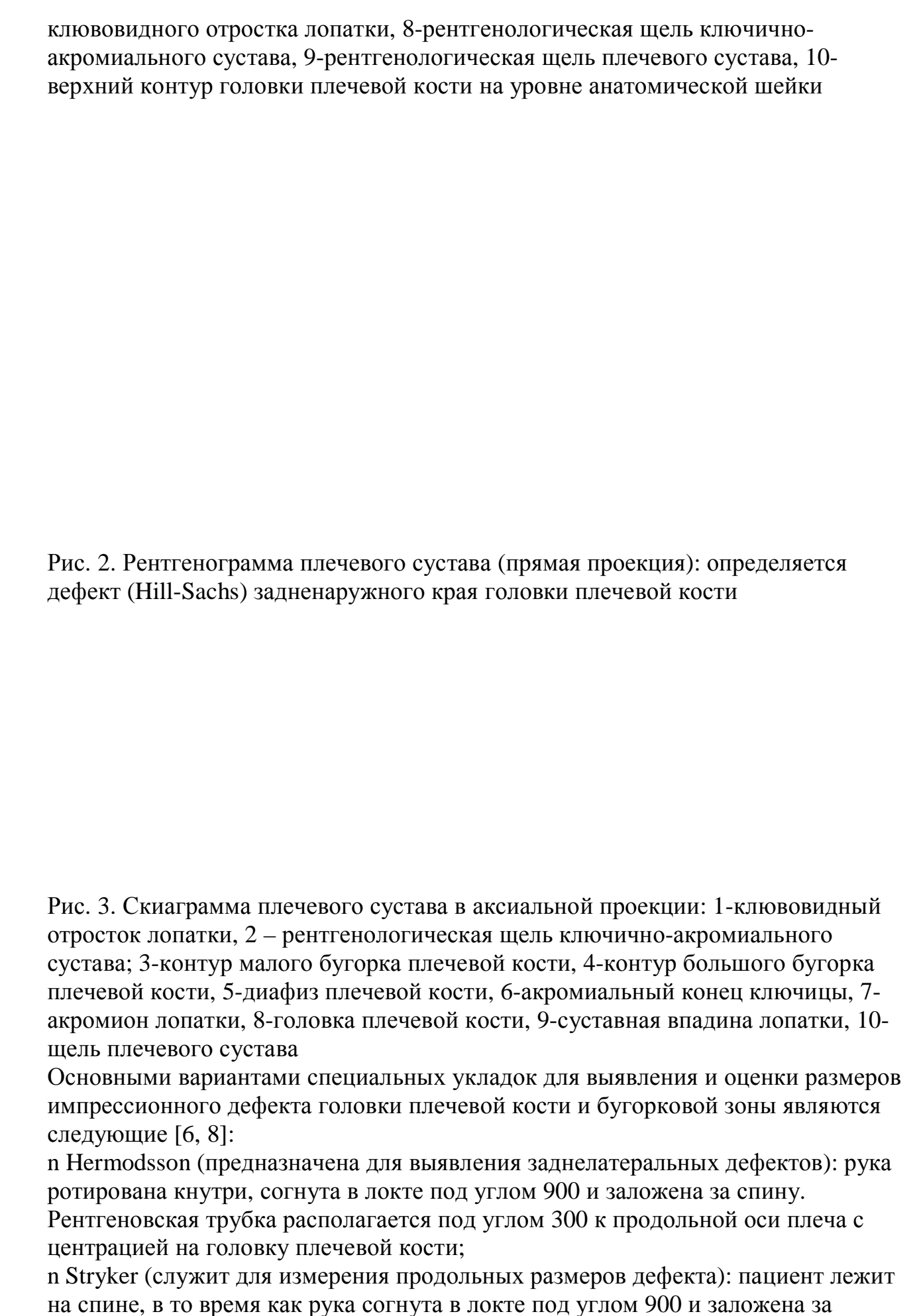
На сегодняшний день различают 2 основных вида импрессионных дефектов головки и бугорковой зоны плечевой кости в зависимости от их локализации [6, 9]:

- · дефект задненаружного края головки плечевой кости и зоны большого бугорка (Hill-Sachs), который возникает при передних вывихах плеча;
- · дефект передневнутреннего края головки плечевой кости и зоны малого бугорка (McLaughlin), который возникает при задних вывихах плеча. До появления трудов H.A. Hill и M.D. Sachs в литературе господствовали представления о том, что ведущими повреждениями, приводящими к нестабильности плечевого сустава, являются травмы суставной капсулы и губы,

что связано с популярными в то время взглядами, изложенными в работах таких учёных, как А. Broka и Н. Hartmann в 1890, а затем и G. Pertes в 1906 году. Спустя десятилетия H.A.Hill и M.D.Sachs представили обзор публикаций совместно с собственным материалом, в котором описали возникающий у пациентов с передними вывихами плеча дефект в области головки и большого бугорка плечевой кости [9]. В последующем появилось много сообщений, подтверждающих то, что повреждение Хилл-Сакса является прямым следствием травматической нестабильности плечевого сустава, которая усугубляется при каждом последующем вывихе и может наблюдаться в 85-98% случаев [5, 10]. Одно из первых упоминаний о рентгенологических изменениях головки, связанных с повторяющимися вывихами плеча, было сделано Franke в 1898 году [6]. В 1925 году W. Pilz представил детальное описание методики рентгенологического исследования привычных вывихов плеча и подчеркнул, что обычная переднее-задняя проекция в большинстве случаев малоинформативна. По этой причине он рекомендовал направлять луч под углом к головке, чтобы выявить ее дефект. Данное предложение нашло большой отклик среди коллег, и вскоре появились статьи, в которых предлагались иные дополнительные виды рентгенологических укладок [8].

На практике применяют чаще всего прямую (переднее-заднюю), режеаксиальную проекции. Так, на прямой рентгенограмме плечевого сустава (рис. 1) четко определяются все анатомические образования, относящиеся к этой области: головка плечевой кости с суставной поверхностью, большой бугорок, метафиз и часть диафиза плечевой кости, суставная впадина лопатки, ключично-акромиальное сочленение и образующие его элементы. Лишь малый бугорок плечевой кости дает свою тень кнутри от большого, наслаиваясь на метафиз плечевой кости. В этой проекции, как правило, хорошо визуализируются импрессионные заднелатеральные дефекты головки плеча больших размеров (Рис. 2). Трактовка же аксиальных рентгенограмм (рис. 3) несколько сложнее изза наслоения анатомических образований друг на друга. Так, на тень головки плечевой кости накладываются плечевой отросток лопатки и ключично-акромиальное сочленение, а также тень большого бугорка плечевой кости. В этой проекции хорошо видны суставные взаимоотношения и дефекты головки при неустранённом вывихе плеча.

Рис. 1.Скиаграмма плечевого сустава в прямой проекции: 1-головка плечевой кости, 2-большой бугорок плечевой кости, 3-лопатка, 4-малый бугорок плечевой кости, 5-акромиальный конец ключицы, 6-акромион лопатки, 7-вершина



голову. Рентгеновская трубка располагается под углом 100 к продольной оси плеча с центрацией на головку плечевой кости;

n Saxer (предназначена для оценки поперечного размера и глубины дефекта): пациент лежит на спине, предплечье находится на грудной согнутое в локтевом суставе под углом 900. Рентгеновская трубка располагается под углом 900 к продольной оси плеча с центрацией на головку плечевой кости.

С целью диагностики задних вывихов плеча и сопряженных с ними импрессионных дефектов головки плечевой кости так же используются вспомогательные укладки. Одной из таких является укладка Velpeau (Puc. 4) [3].

## Рис. 4. Схема выполнения вспомогательной рентгенограммы в проекции по Velpeau

Для выявления импрессионных переломов головки плечевой кости на сегодняшний день также применяют более современные методы лучевой диагностики к которым относят ультразвуковое исследование, МРТ (магнитнорезонансную томографию) и КТ (компьютерную томографию). "Золотым стандартом" в исследовании плечевого сустава считается МРТ. С ее помощью можно не только выявить импрессионные дефекты и определить их размеры, но и оценить состояние мягкотканых структур плечевого сустава, которые повреждаются при травматическом вывихе. Трехмерная же реконструкция области дефекта при помощи КТ (Рис. 5) открывает широкие возможности перед ортопедами, позволяя выполнять предоперационное планирование [1, 7].

Рис. 5. Трехплоскостная КТ плечевого сустава

Существенными недостатками, ограничивающими применение КТ и МРТ являются высокая стоимость исследований и наличие соответствующего диагностического оборудования только в крупных медицинских центрах. С применением современных методик появилась возможность классифицировать дефекты головки плечевой кости не только в зависимости от их пространственного положения, но и размеров. Так, наиболее распространенной является классификация С.R. Rowe, согласно которой все дефекты подразделяют на 3 типа [11]:

Некоторые хирурги также подразделяют импрессионные дефекты головки плечевой кости на сцепляющиеся и несцепляющиеся в зависимости от особенностей их клинического проявления при пространственном положении верхней конечности. Несцепляющийся импрессионный дефект клинически проявляется лишь при крайних положениях отведения и наружной ротации плеча, сцепляющийся же во всех остальных случаях. Эта классификация позволяет объяснить ситуации, когда наличие даже больших импрессионных дефектов не сопровождается проявлениями нестабильности плеча [4]. Материал и методы

С 2003 года в Могилевской областной больнице и городском клиническом центре травматологии и ортопедии Минска внедрены и широко используются для диагностики импрессионных дефектов все вышеперечисленные методики. Мы произвели ретроспективный анализ рентгенограмм 88 больных, находившихся на лечении в стационаре по поводу привычного (62 пациента) и застарелого (26 человек) вывихов плеча за период с 2003 по 2007 гг. Пациентам данных групп было выполнено 104 рентгенограммы в прямой проекции, 26 – в вспомогательной проекции по Hermodson, 3 – в проекции по Saxer, и 40 рентгеновских снимков в аксиальной проекции (включая ее

модификацию Velpea). В 35 случаях произведены MPT и в 8 – КТ исследования плечевого сустава. Методика ультрасонографии применена в 25 случаях. Среди пациентов с привычным вывихом плеча возраст больных находился в диапазоне от 18 до 67 лет (средний – 38,1 лет). В 35 случаях длительность заболевания составила от одного года до 3 лет, в 15 наблюдениях – от 3 до 5 лет, и у 12 пациентов – более 5 лет. В анамнезе у 34 человек отмечено до 5, у 28 – более 5 эпизодов вывихов. У 2 больных диагностирована двусторонняя патология. Правый плечевой сустав был поврежден у 42, левый – у 22 пациентов. Импрессионный дефект головки при привычном вывихе плеча был выявлен в 54 случаях (на переднее-задних рентгенограммах – в 48, при применении вспомогательных укладок по Hermodson – в 6, по Saxer – в 3 наблюдениях). Оценив размеры дефектов головок плечевых костей мы получили следующие результаты (по классификации C.R. Rowe): дефекты первого типы констатированы в 43, II типа – в 5, III типа – в 6 случаях. После выполнения MPT 25 пациентам, во всех наблюдениях были диагностированы повреждения вращательной манжеты плеча в типичных зонах, в то время как, импрессионные дефекты были выявлены лишь в 21 случае.

У всех пациентов с застарелыми вывихами были обнаружены на рентгенограммах импрессионные переломы головки плеча различных размеров. Возраст больных находился в диапазоне от 22 до 78 лет (средний – 61,4 года). Длительность заболевания составила менее одного месяца у 3 пациентов, от 1 до 3 месяцев-у 21 человека и более 3 месяцев у 2 больных. Правостороннюю локализацию патологии наблюдали у 16, левостороннюю – у 10 человек. Размеры дефектов I типа (по C.R. Rowe) выявили у 12,

II типа – у 12, III типа – у 2 больных. С целью уточнения диагноза в данной группе применяли специальные рентгенографические укладки в 16, MPT – в 10, КТ – в 8 случаях.

Результаты и обсуждение

Нами произведено сравнение размеров дефектов головок плечевых костей полученных в результате обследования пациентов до хирургических вмешательств и выявленных интраоперационно. В 66 случаях отмечено полное совпадение обретенных таким образом данных. В 12 наблюдениях размеры дефектов выявленных во время операции, были меньше таковых полученных с использованием рентгенологических методик (более чем на 5 мм). В 2 случаях – существенно (более чем на 5 мм) превышали размеры дефектов выявленных во время предоперационного планирования.

У всех пациентов, где имелось расхождение в оценке степени выраженности костного дефекта, предоперационное планирование производили только на основании оценки рентгенограмм в прямой проекции. В тоже время, среди пациентов, которым выполняли рентгенограммы в специальных укладках, клинически значимых расхождений в определении размеров дефектов не было выявлено.

Данные, полученные в результате предоперационного планирования с использованием КТ и MPT плечевого сустава, были наиболее точны. Выводы

- 1. Импрессионные дефекты головки и бугорковой зоны плеча сопутствуют посттравматической нестабильности плечевого сустава, являясь ее основным статическим фактором.
- 2. Применение специальных диагностических укладок позволяет не только улучшить качество обследования пациентов, но, в тоже время, и увеличить точность оценки размеров импрессионного дефекта у пациентов с вывихами плеча.
- 3. Своевременная оценка размеров импрессионного дефекта позволяет разработать адекватную тактику хирургического лечения привычных и застарелых вывихов плеча.

## Литература

- 1. Брюханов, А. В., Васильев, А. Ю. Магнитно-резонансная томография в диагностике заболеваний суставов. Барнаул: ОАО «Алт. полигр. комб.», 2001. 198 с.
- 2. Краснов, А. Ф., Ахмедзянов, Р. Б. Вывихи плеча. М.: Медицина, 1982. 160 с.
- 3. Bloom, MH, Obata, WG. Diagnosis of posterior dislocation of the shoulder with use of Velpeau axillary and angle-up roentgenographic views // J. Bone Joint Surg. Am. 1967. V. 49. № 5. P. 943 949.
- 4. Burkhart, SS, De Beer, JF. Traumatic glenohumeral bone defects and their relationship to failure of arthroscopic Bankart repairs: significance of the inverted-pear glenoid and the humeral engaging Hill-Sachs lesion // Arthroscopy. 2000. V. 16. N 7. P. 677 694.
- 5. Calandra, JJ, Baker, CL, Uribe, J. The incidence of Hill-Sachs lesions in initial anterior shoulder dislocations // Arthroscopy. 1989. V. 5. № 4. P. 254 257.
- 6. Charles, A. Rockwood, Jr. David P. Green fractures in adults. 1984. V. 1. P. 736 806.
- 7. Cohen, RB, Williams, GR Jr. Impingement syndrome and rotator cuff disease as repetitive motion disorders // Clin. Orthop. Relat. Res. 1998. V. 351. P. 95 101.
- 8. Hermodsson, I. Roentgenologischen Studien uber die traumatischen und habituellen Schulterverrenkugen nach vorn und nach unten / Acta Radiol. (Stockh.) 1934. Supp20:1.
- 9. Hill, HA, Sachs, MD. The groved defect of the humeral head. A frequently unrecognized complication of dislocations of the shoulder joint // Radiology. 1940. V. 35. P. 690 700.
- 10. Neer, CS 2nd, Foster, CR. Inferior capsular shift for involuntary inferior and multidirectional instability of the shoulder. A preliminary report // J. Bone Joint Surg. Am. 1980. V. 62. № 6. P. 897 908.
- 11. Rowe, C.R. The shoulder Churchill Livingston, New York Edinburgh Melburne, 1988.
- 12. Widjaja, AB, Tran, A, Bailey, M, Proper, S. Correlation between Bankart and Hill-Sachs lesions in anterior shoulder dislocation // ANZ J. Surg. 2006. V. 76. № 6. P. 436 438.